

京都大学工学部 ○金 子 勝比古(学生会員)

佐 野 修(")

柳 谷 後(正会員)

1. はじめに

材料が極限強度以下の応力のもとで、その材料内に微少な破壊を生じることはよくから知られていて、ある。

近年、岩石内におけるこのようす(微少)破壊により発生する破壊音を観測して岩石の変形や破壊の機構を考察しようとする試みが行われていて^{1)~4)}。筆者らは、地震学において用ひられて、る地震波の周波数特性と震源パラメータの関係を应用し、岩石内での微少破壊とともに生じた波動を解明しようと試みた。

2. 測定系統とデータ処理

測定系統はFig. 1のブロックダイヤグラムに示す。センサーは横共振周波数1.8 MHz、横共振周波数約150 kHzのチタン酸ジレコン酸鉛系磁器振動子であり、今回の測定に使用した周波数範囲(100 kHz ~ 1.5 MHz)においては一定の感度をもつ加速度型のものである。センサーの出力信号は機械的ノイズを取除くため100 kHzのロー・カット・フィルターを通して、前置増幅器を通してトランジエントレコーダーにデジタル量として記憶させ、データ処理のためのコンピュータ入力として使用するテープ上に紊乱記録させた。使用したトランジエントレコーダーの性能から、得られた信号記録は200 nsec, 8 bitの分解能をもつていて、測定した現象は、ヒタ花崗岩(6×6×12 cm)について行ったクリーブ試験時の1次および2次クリーブにおいて発生したものである^{4), 5)}

3. 測定結果

測定データの処理にあたって、データを補正する必要から、まず、試料の波動伝播特性とセンサーの共振の影響を調べた。無載荷状態で周波数100 kHz ~ 1 MHzの範囲では、波動の減衰率に大きな変化は認められなかった。測定波形が1次および2次クリーブの状態におけるものであるから、破壊直前の伝播特性の変化⁶⁾は考慮していない。センサーの共振については、とくに横共振周波数が測定された現象の周波数とほぼ同じであるため問題にする。そこで、測定波形の周波数特性の時間的に変動を調べるために測定波形のRunning Spectrumを求めた(Fig. 2)。Fig. 2より、センサーの横共振のP波、S波に対する時間遅れが大きく、とくにP波に対する遅れは影響が大きいと考えられる。また、センサーのS波に対する指向感度は不明であるが、P波に対する指向感度一定であると考えられる。したがって、測定波形のP波のみに着目して考察する。

Fig. 3は測定波形(a)とそのP波の周波数特性(b)の一例を示すものである。Fig. 3より、周波数特性はある周波数から高周

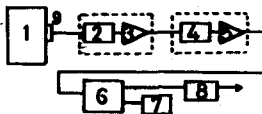


Fig. 1 apparatus

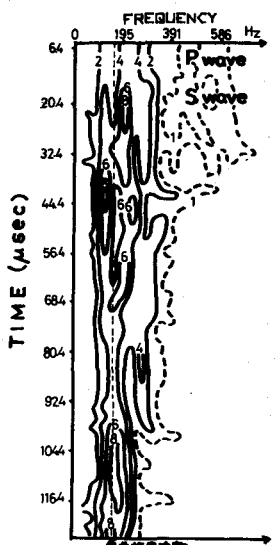


Fig. 2 running spectrum

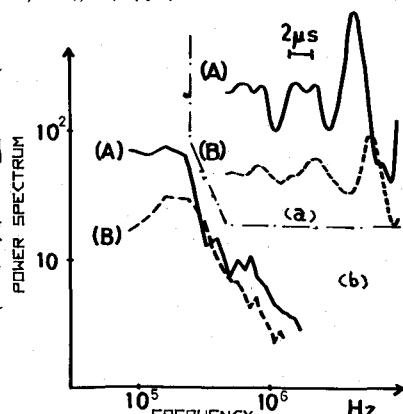


Fig. 3 Waveforms observed in micro-fracturing studies and their Fourier Spectrums

波側へ急変し、高周波成分が現われにくくなる傾向が認められる。このような周波数特性曲線上に現われる屈曲点をCorner Frequency (f_C)と呼ぶ。今回測定された現象では f_C は 100~400 KHz の範囲にあつた。

4. 考察

岩石の微小破壊はマイクロクラックの発生と伸展に起因すると考えられていて、微小破壊による破壊音とクラックの関係は地盤における地震波と断層の関係に類似し、モデル的に考る場合、同一のも

Fig. 4 Haskell Model

のとする。そこで、地震学における震源モデルを拡張してマイクロクラックモデルを考えた。こことは、 Haskell により導かれたモデルともいって考る^{8), 9)}。Fig. 4 に示されているように、無限弹性体中の任意の面上に時間関数 $G(t)$ の変位 D_0 が幅 w 、長さ L なる面前でクラック速度 v で移動した場合に発生する破壊音の特性を解くことができる。(Fig. 4) その結果、観測点 P における PSD の変位加速度(周波数)の周波数特性は(1)式のようにである。

$$|\frac{d^2u}{dt^2}| = R(r, \theta, \phi) A(\mu, w, L, T, T_0) F_1(T_0, T, \omega) / (1 + \omega^2 T^2)^{1/2} \quad (1)$$

ここで、 $t > 0$ のとき $G(t) = 1 - \exp(-t/\tau)$, $t < 0$ の時 $G(t) = 0$ 。ここで r は点 P の変位、 R は輻射係数、 μ は剛性率、 $T_0 = L_0 / (\zeta v) = \cos \theta / C_L$, $T = w / \mu \cdot b v$ を差す。(1)式並用して数値計算した結果は Fig. 5 のとおりである。微小破壊現象が多発し、また、クラックは必ず停止することばかり考えると v は $10 \sim 100 \text{ m/s}$ のオーダであると考えられている¹⁰⁾。Fig. 5(a) および(b) はクラックの面比($w:L$) がそれぞれ $1:1$, $1:100$ の場合について示したものである。測定現象の特性(Fig. 3) と Fig. 5 を比較すると、Fig. 3 は Fig. 5(b) により良き近似をえられている。このことから、 $v = 10 \text{ m/s}$ であれば面積 $2 \sim 6 \times 10^{-4} \text{ cm}^2$ のクラック、また $v = 100 \text{ m/s}$ であれば面積 $2 \sim 6 \times 10^{-2} \text{ cm}^2$ のクラックとなり、面比が小さく非常に長いクラックであることが推察される。Sprunt¹¹⁾等により報告されてゐるクラックの形状と良く一致している。このように、クラックの規模はより大きく影響をうけるため、クラック速度の厳密な測定が必要であるが、 $v = 10 \sim 100 \text{ m/s}$ と仮定して求めたクラックの大きさはオーダ的には妥当なものと思われる。

参考文献

- 1) C.H. Scholz : J. Geophys. Res., vol. 73, No. 4, 1968, p. 1417~1432
- 2) K. Magi : Bull. Earthq. Res. Inst., vol. 46, 1968, p. 1103~1125
- 3) 佐野, 柳谷, 中島, 寺田, 伊藤 : 昭和50年度日本鉱業会春季大会要旨集, 1975,
- 4) 柳谷, 佐野, 金子, 寺田, 伊藤 : 昭和50年度日本材料学会春季大会講演
- 5) Scholz : J. Geophys. Res., vol. 73, No. 10, 1968, p. 3295~3302
- 6) 朝山, 佐野, 伊藤 : 昭和47年度日本鉱業会春季大会要旨集, 1972
- 7) S. Hattori : J. Phys. Earth., 21, 1973, p. 61~76
- 8) N.A. Haskell : Bull. Seism. Soc. Am., vol. 54, No. 6, 1964, p. 1811~1841
- 9) J.C. Savage : J. Geophys. Res., vol. 77, No. 20, 1972, p. 3788~3795
- 10) J. Denoyer, H. Pallas : Seism. Soc. Am., vol. 53, No. 1, 1963, p. 87~93
- 11) E.S. Sprunt, W.F. Brace : Int. J. Rock Mech. Min. Sci., vol. 11, 1974, p. 139~146

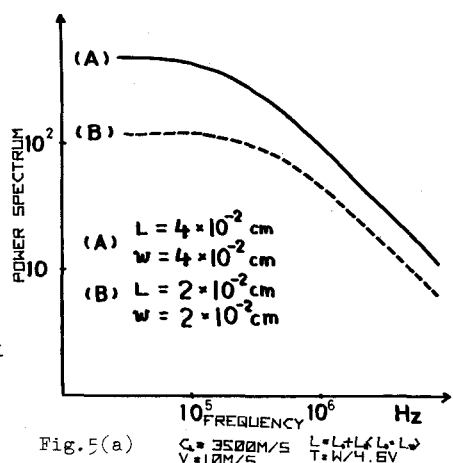
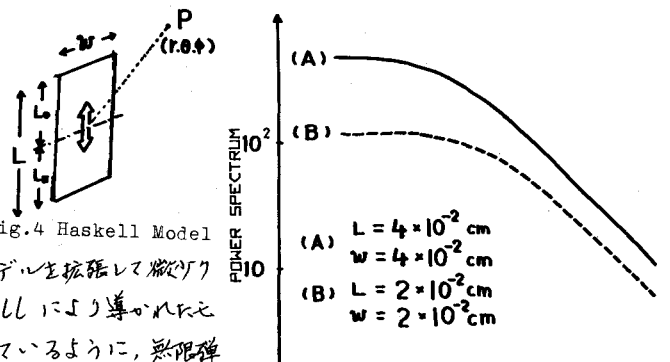


Fig. 5(a) $G = 3500 \text{ M/S}$ $V = 10 \text{ M/S}$ $L = L_0 + L_1$, $L_0 = L_1$, $L = L_0$, $w = 4 \cdot 10^{-2} \text{ cm}$

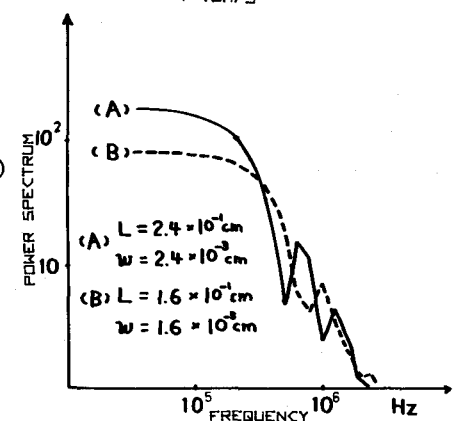


Fig. 5(b) $G = 3500 \text{ M/S}$ $V = 10 \text{ M/S}$ $L = L_0 + L_1$, $L_0 = L_1$, $L = L_0$, $w = 2 \cdot 10^{-2} \text{ cm}$

The Fourier Spectrums of the Haskell Model